

# 第14篇 齿轮传动

主要撰稿 姜 勇 陈湛闻 陈荣增 梁桂明

谢佩娟 张少名 余 铭

张文照 张国忠 陈祖元

审 稿 姜 勇 鲍显威 王省三 韩学铨



数据加载失败，请稍后重试！

# 第14篇 齿轮传动

主要撰稿 姜 勇 陈湛闻 陈荣增 梁桂明

谢佩娟 张少名 余 铭

张文照 张国忠 陈祖元

审 稿 姜 勇 鲍显威 王省三 韩学铨



## 本篇主要代号

$a$	中心距, 偏心距, mm	$h'$	工作齿高
$a_d$	未变位时的中心距	$\bar{h}$	分度圆弦齿高
$B$	变位齿轮啮合角函数	$h_a$	齿顶高
$B_v$	变位齿轮中心距函数	$h_a^*$	齿顶高系数
$b$	齿宽, mm	$h_{an}^*$	法向的齿顶高系数
$C$	行星轮数目	$h_{at}^*$	端面的齿顶高系数
$c$	顶隙, mm	$\bar{h}_e$	固定弦齿高
$c^*$	顶隙系数	$\bar{h}_{on}$	法向的固定弦齿高
$c_n^*$	法向的顶隙系数	$h_f$	齿根高
$c_t^*$	端向的顶隙系数	$\bar{h}_n$	法向的分度圆弦齿高
$D$	直径	$i$	传动比
$D_s$	摆线轮销轴孔中心圆直径	$i_{AX}^B$	$B$ 件固定, 由 $A$ 件到 $X$ 件的传动比(上、下角标更换时, 意义类同)
$D_z$	针齿中心圆直径	inv $\alpha$	渐开线函数
$D_o$	刀盘名义直径	$K$	系数, 与载荷有关的系数
$d$	直径, 分度圆直径, mm	$K_A$	系数
$d'$	节圆直径	$K_c$	载荷不均匀系数
$d_a$	齿顶圆直径	$K_{Fa}$	弯曲强度计算的齿间载荷分配系数
$d_b$	基圆直径	$K_{F\beta}$	弯曲强度计算的齿向载荷分布系数
$d_f$	齿根圆直径	$K_{Ha}$	接触强度计算的齿间载荷分配系数
$d_m$	齿宽中点处的分度圆直径	$K_{H\beta}$	接触强度计算的齿向载荷分布系数
$d_p$	圆棒(球)直径, 销轮销齿直径	$K_m$	开式齿轮传动的磨损系数
$d_s$	销轴套直径	$K_v$	动载系数
$d'_s$	销轴直径	$K_\beta$	齿向载荷分布系数
$d_z$	针齿套直径	$K_1$	短幅系数
$d'_z$	针齿销直径	$K_2$	针径系数
$E$	弹性模量, N/mm	$k$	公法线跨测齿数
$F$	力, N	$M$	量柱(球)测量距, mm
$F_{bt}$	作用于分度圆上的端面法向力	$m$	模数, 圆锥齿轮的大端端面模数, mm
$F_n$	法向力	$m_a$	法向模数
$F_r$	径向力	$m_p$	参考点法向模数
$F_t$	端面内分度圆上的名义切向力	$m_t$	端面模数
$F_{ti}$	载荷图中作用于分度圆上的第 $i$ 段圆周力	$m_x$	轴面模数
$F_{tm}$	齿宽中点处分度圆上的圆周力	$N$	循环次数
$F_x$	轴向力	$N_0$	当量循环次数
$G$	齿廓重叠干涉验算指标	$N_i$	载荷图中第 $i$ 段载荷的总循环次数
HB	布氏硬度	$N_0$	循环基数
HRC	洛氏硬度	$n$	转速, r/min
HV	维氏硬度	$n_i$	载荷图中第 $i$ 段载荷的转速
$h$	齿高, 全齿高, mm		

$n_v$	摆线针轮传动的输出转速	$W$	公法线长度, mm
$n_x$	摆线针轮传动的输入转速	$W^*$	$m$ (或 $m_n=1$ ) 的公法线长度
$P$	功率, kW	$W_a$	法向的公法线长度
$p$	齿距, 周节, mm	$x$	变位系数
$p_b$	基圆周节	$x_n$	法向的变位系数
$p_{ba}$	法向的基圆周节	$x_{n\sum}$	法向的总变位系数
$p_{bt}$	端面的基圆周节	$x_t$	端面的变位系数
$p_a$	法向齿距, 法向周节	$x_z$	总变位系数
$p_t$	端面齿距, 端面周节	$x_c$	切向变位系数
$p_x$	轴面齿距	$Y$	与弯曲强度有关的系数
$q$	蜗杆特性系数	$Y_{fa}$	齿形系数
$R$	锥距, mm	$Y_{NT}$	弯曲强度计算的寿命系数
$R_i$	小端锥距	$Y_{KrelT}$	相对齿根表面状况系数
$R_m$	中点锥距	$Y_{Sa}$	应力修正系数
$R_p$	参考点锥距	$Y_{St}$	试验齿轮的应力修正系数
$R_x$	任意点锥距	$Y_x$	弯曲强度计算的尺寸系数
$R_z$	不平度平均高度, $\mu\text{m}$	$Y_\beta$	弯曲强度计算的螺旋角系数
$r$	半径, 分度圆半径, mm	$Y_{SrelT}$	相对齿根圆角敏感系数
$r_a$	齿顶圆弧半径	$Y_e$	弯曲强度计算的重合度系数
$r_f$	齿根圆弧半径	$Y_\varphi$	弯曲强度的齿宽影响系数
$r_s$	销轴套半径	$Y_o$	刀盘直径影响系数
$r'_s$	销轴半径	$y$	中心距变动系数
$r_z$	针齿套半径	$y_n$	法向的中心距变动系数
$r'_z$	针齿销半径	$y_t$	端面的中心距变动系数
$S$	安全系数	$Z$	与接触强度有关的系数
$S_{Fmin}$	弯曲强度计算的最小安全系数	$Z_E$	弹性系数
$S_{Hmin}$	接触强度计算的最小安全系数	$Z_H$	节点区域系数
$s$	齿厚, 分度圆齿厚, mm	$Z_L$	润滑剂系数
$\bar{s}$	分度圆弦齿厚	$Z_N$	接触强度计算的寿命系数
$s_a$	齿顶圆齿厚	$Z_R$	粗糙度系数
$s_{at}$	端面的齿顶圆齿厚	$Z_s$	滑动速度影响系数
$\bar{s}_c$	固定弦齿厚	$Z_u$	齿数比系数
$\bar{s}_{ca}$	法向的固定弦齿厚	$Z_v$	速度系数
$s_t$	齿根圆齿厚	$Z_w$	齿面工作硬化系数
$s_{ft}$	端面的齿根圆齿厚	$Z_x$	接触强度计算的尺寸系数
$\bar{s}_n$	法向的分度圆齿厚	$Z_\beta$	接触强度计算的螺旋角系数
$\bar{s}_a$	法向的分度圆弦齿厚	$Z_e$	接触强度计算的重合度系数
$s_t$	端面的分度圆齿厚	$Z_o$	接触系数
$T$	转矩, N·m	$Z_\varphi$	接触强度的齿宽影响系数
$t$	工作时间, h	$Z_\alpha$	精度系数
$t_i$	载荷图中第 $i$ 段载荷的总工作时间	$z$	齿数
$u$	齿数比	$z'$	斜齿轮的假想齿数
$v$	速度, 分度圆的圆周速度, m/s	$z_a$	假想平面齿轮齿数
$v_s$	滑动速度	$z_s$	销轴数目

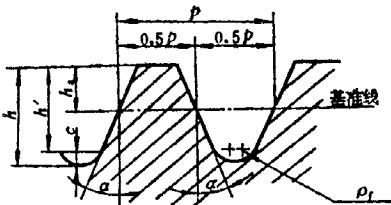
$z_v$	当量齿数	$\theta_b$	齿宽和行星轮数目对 $K_{F\beta}$ 和 $K_{H\beta}$ 的影响系数
$z_2$	齿数和	$\theta_t$	齿根角
$\alpha$	齿形角, 分度圆压力角	$\mu_F$	齿轮相对于行星架的圆周速度及大齿轮齿面硬度对 $K_{F\beta}$ 的影响系数
$\alpha'$	啮合角	$\mu_H$	齿轮相对于行星架的圆周速度及大齿轮齿面硬度对 $K_{H\beta}$ 的影响系数
$\alpha'_t$	端面啮合角	$\mu_s$	重合度的整数部分
$\alpha_a$	齿顶圆压力角	$\nu$	泊桑比
$\alpha_{at}$	端面的齿顶圆压力角	$\nu_{50}$	在50°C时润滑油的运动粘度, $\text{mm}^2/\text{s}$
$\alpha_M$	圆棒(球)中心所在圆的压力角	$\rho_t$	齿根圆角半径, mm
$\alpha_n$	法向压力角	$\Sigma$	轴交角, 轴交错角
$\alpha_t$	端面压力角	$\sigma$	应力, $\text{N}/\text{mm}^2$
$\beta$	螺旋角, 分度圆螺旋角	$[\sigma]$	许用应力
$\beta_b$	基圆螺旋角	$\sigma_F$	计算齿根应力
$\beta_i$	小端螺旋角	$\sigma_{F11m}$	试验齿轮的弯曲疲劳极限
$\beta_m$	齿宽中点螺旋角	$\sigma_H$	计算接触应力
$\beta_p$	参考点螺旋角	$\sigma_{H11m}$	试验齿轮的接触疲劳极限
$\beta_x$	任意点螺旋角	$\phi$	齿宽系数
$\gamma$	齿轮每转一圈轮齿同一侧面上的啮合次数,蜗杆分度圆柱上的螺旋线升角	$\phi_a$	对中心距的齿宽系数
$\Delta h_a^*$	齿顶高系数的减小量(为避免内啮合齿轮的过度曲线干涉)	$\phi_d$	对分度圆直径的齿宽系数
$\Delta h_{an}^*$	法向的齿顶高系数的减小量	$\phi_R$	对锥距的齿宽系数
$\bar{\Delta h}_2$	内齿轮弦齿高的增量, mm	$\psi$	几何压力系数
$\Delta W^*$	变位齿轮的公法线长度附加量( $m=m_n=1$ 时), mm	角标(与上述代号组合使用)	
$\Delta y$	齿顶高变动系数	A	太阳轮的
$\delta$	分锥角	B	内齿轮的
$\delta_a$	顶锥角	C	行星轮的
$\delta_t$	根锥角	max	最大的
$\delta_{az}$	内齿轮齿顶圆轮齿中心角之半	min	最小的
$\varepsilon$	重合度	X	行星架的
$\varepsilon_a$	端面重合度	0	刀具的
$\varepsilon_\beta$	纵向重合度	01	用插齿刀切制小齿轮的
$\varepsilon_\gamma$	总重合度	02	用插齿刀切制大齿轮的
$\eta$	效率, 滑动率	1	小齿轮的
$\eta_{AX}^B$	B件固定, 由A件传动到X件的效率 (上、下角标更换时, 意义类同)	2	大齿轮的
$\theta_a$	齿顶角	I	高速级的
		II	低速级的

# 第1章 滚开线圆柱齿轮传动

## 1 滚开线圆柱齿轮的基本齿廓和模数系列

### 1.1 滚开线圆柱齿轮基本齿廓(GB1356—88)

表 14-1-1

基本齿廓	参数名称	代号	数值
	齿顶高	ha	m
	工作高度	h'	2m
	顶隙	c	0.25m
	全齿高	h	2.25m
	齿距	p	$\pi m$
	齿根圆角半径	$\rho_r$	$\approx 0.38m$

注: 1. 滚开线圆柱齿轮的基本齿廓是指基本齿条的法向齿廓。  
 2. 本标准适用于模数  $m \geq 1\text{mm}$ , 齿形角  $\alpha = 20^\circ$  的滚开线圆柱齿轮。  
 3. 为改善传动质量, 允许齿顶修缘。

### 1.2 滚开线圆柱齿轮模数(GB1357—87)

表 14-1-2

	mm										
第一系列	1	1.25	1.5		2		2.5		3		4
第二系列				1.75		2.25		2.75	(3.25)	3.5	(3.75)
第一系列		5		6			8		10		12
第二系列	4.5		5.5		(6.5)	7		9	(11)		14
第一系列		20		25		32		40		50	
第二系列	18		22		28		36		45		

注: 1. 对斜齿轮是指法向模数。  
 2. 应优先采用第一系列, 括弧内的模数尽可能不用。

## 2 滚开线圆柱齿轮传动的参数选择

表 14-1-3

项 目	代 号	选 择 原 则 和 数 值
齿形角	$\alpha$	1. 取标准值: $\alpha$ (或 $\alpha_a$ ) = $20^\circ$ 。 2. 端面齿形角和法向齿形角的换算关系为: $\tan \alpha_t = \frac{\tan \alpha_a}{\cos \beta}$
齿顶高系数	$h_a^*$	1. 取标准值: $h_a^*$ (或 $h_{aa}^*$ ) = 1 2. 端面齿顶高系数和法向齿顶高系数的换算关系为: $h_{at}^* = h_{aa}^* \cos \beta$

续表

项 目	代 号	选 择 原 则 和 数 值
顶隙系数	$c^*$	1. 取标准值: $c^*$ (或 $c_n^*$ ) = 0.25 2. 端面顶隙系数和法向顶隙系数的换算关系为: $c_t^* = c_n^* \cos\beta$
模 数	$m$	1. 模数 $m$ (或 $m_n$ )由强度计算或结构设计确定, 并应按表14-1-2选取标准值 2. 在强度和结构允许的条件下, 应选取较小的模数 3. 对软齿面( $HB \leq 350$ )外啮合的闭式传动, 可按下式初选模数 $m$ (或 $m_n$ ): $m = (0.007 \sim 0.02) a$ 当中心距较大、载荷平稳、转速较高时, 可取小值; 否则取大值。 对硬齿面( $HB > 350$ )的外啮合闭式传动, 一般应取略大于上式的值 4. 在一般动力传动中, 模数 $m$ (或 $m_n$ )不应小于2mm 5. 端面模数和法向模数的换算关系为: $m_t = \frac{m_n}{\cos\beta}$
齿 数	$z$	1. 当中心距(或分度圆直径)一定时, 应选用较多的齿数, 这样可以提高重合度, 使传动平稳, 减小噪声; 由于模数的减小, 还可以减小齿轮重量和切削量, 提高抗胶合性能 2. 选择齿数时, 应保证齿数 $z$ 大于发生根切的最少齿数 $z_{min}$ (见图14-1-4); 对内啮合齿轮传动还要避免干涉(见表14-1-7) 3. 当中心距 $a$ (或分度圆直径 $d_1$ )、模数 $m$ 、螺旋角 $\beta$ 确定之后, 可以按 $z_1 = \frac{2a \cos\beta}{m_n(u \pm 1)}$ (外啮合用+, 内啮合用-) 计算齿数, 若算得的值为小数, 应予圆整, 并按 $\cos\beta = \frac{z_1 m_n (u \pm 1)}{2a}$ 最终确定 $\beta$ 4. 在满足传动要求的前提下, 应尽量使 $z_1$ 、 $z_2$ 互质, 以便分散和消除齿轮制造误差对传动的影响 5. 当齿数 $z_2 > 100$ 时, 为便于加工, 应尽量使 $z_2$ 不是质数
齿数比	$u$	1. $u = \frac{z_2}{z_1} = \frac{n_1}{n_2}$ , 按转速比的要求选取 2. 一般的齿数比范围是: 外啮合: 直齿轮1~10, 斜齿轮(或人字齿轮)1~15; 内啮合: 直齿轮1.5~10, 斜齿轮(或人字齿轮)2~15; 螺旋齿轮: 1~10
分度圆螺旋角	$\beta$	1. 增大螺旋角 $\beta$ , 可以增大纵向重合度 $e_\beta$ , 使传动平稳, 但轴向力随之增大(指斜齿轮), 一般斜齿轮: $\beta = 8^\circ \sim 16^\circ$ ; 人字齿轮: $\beta = 25^\circ \sim 40^\circ$ 2. 可适当选取 $\beta$ , 使中心距 $a$ 具有圆整的数值。 3. 外啮合: $\beta_1 = \beta_2$ , 旋向相反; 内啮合: $\beta_1 = \beta_2$ , 旋向相同; 螺旋齿轮: 可根据需要确定 $\beta_1$ 和 $\beta_2$
齿 宽	$b$	可参考表14-1-62选取推荐的齿宽系数 $\phi_d$

### 3 变位齿轮传动和变位系数的选择

#### 3.1 变位齿轮原理

用齿条型刀具滚切齿轮时, 当齿条刀的基准线与齿轮坯的分度圆相切时, 则切制出来的齿轮为标准齿轮; 当齿条刀的基准线与轮坯的分度圆不相切时, 则切制出来的齿轮为变位齿轮, 如图14-1-1和图14-1-2所示。刀具的基准线和轮坯的分度圆之间的距离称为变位量, 用 $xm$ 表示,  $x$ 称为变位系数。当刀具离开轮坯中心时(如

图14-1-1),  $x$  取正值 (称为正变位); 反之 (如图14-1-2)  $x$  取负值 (称为负变位)。

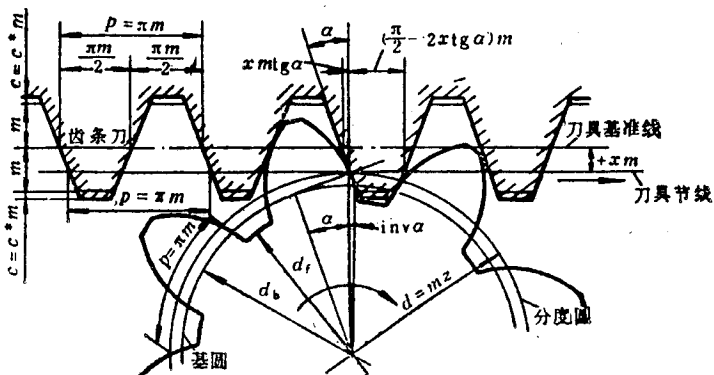


图 14-1-1 用齿条型刀具滚切变位外齿轮

对斜齿轮, 端面变位系数和法向变位系数之间的关系为:  $x_t = x_n \cos \beta$ 。

齿轮经变位后, 其齿形与标准齿轮同属一条渐开线, 但其应用的区段却不同 (见图14-1-3)。利用这一特点, 通过选择变位系数  $x$ , 可以得到有利的渐开线区段, 使齿轮传动性能得到改善。应用变位齿轮可以避免根切, 提高齿面接触强度和齿根弯曲强度, 提高齿面的抗胶合能力和耐磨损性能, 此外变位齿轮还可用于配凑中心距。

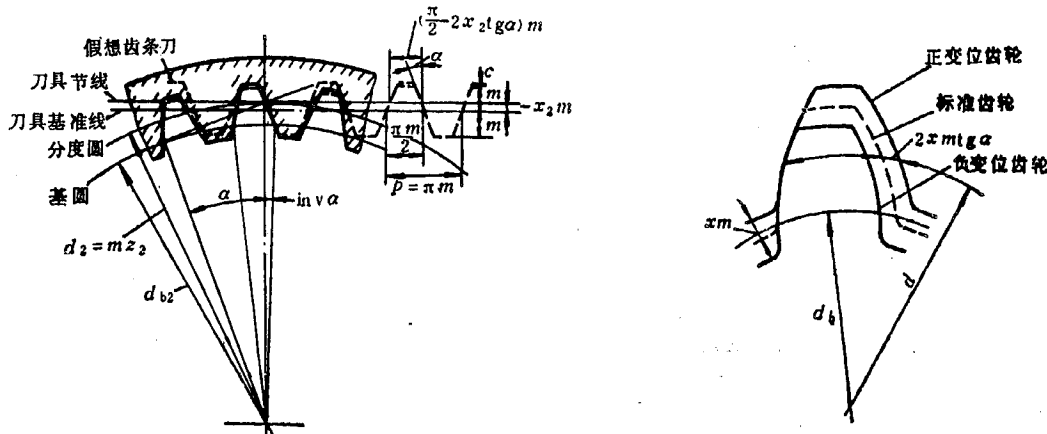


图 14-1-2 用假想齿条型刀具滚切变位内齿轮

图 14-1-3 变位齿轮的齿形

### 3.2 变位齿轮传动的分类和特点

表 14-1-4

传动类型	标准齿轮传动 $x_{n1}=x_{n2}=0$	变位齿轮传动		
		高变位 $x_{n2}\pm x_{n1}=0$ ( $x_{n1}\neq 0$ )	角变位 $x_{n2}\pm x_{n1}\neq 0$	
主要几何尺寸	分度圆直径 $d=m_z$	不变		
	基圆直径 $d_b=d \cos \alpha_t$	不变		
	周节 $p_t=\pi m_t$	不变		

续表

传动类型	标准齿轮传动 $x_{n1}=x_{n2}=0$	变位齿轮传动		
		高变位 $x_{n2}\pm x_{n1}=0$ ( $x_{n1}\neq 0$ )	角变位 $x_{n1}\pm x_{n2}\neq 0$	
		正传动 $x_{n2}\pm x_{n1}>0$	负传动 $x_{n2}\pm x_{n1}<0$	
啮合角	$\alpha'_t=\alpha_t$	不 变	增 大	减 小
节圆直径	$d'=d$	不 变	增 大	减 小
中心距	$a=\frac{1}{2}m_t(z_2\pm z_1)$	不 变	增 大	减 小
主要几何尺寸	$s_t=\frac{1}{2}\pi m_t$	外齿轮: 正变位, 增大; 负变位, 减小 内齿轮: 正变位, 减小; 负变位, 增大		
	$s_{at}=d_a \left( \frac{\pi}{2z} \pm \operatorname{inv} \alpha_t \mp \operatorname{inv} \alpha_{at} \right)$	正变位, 减小; 负变位, 增大		
	$s_{ft}=d_f \left( \frac{\pi}{2z} \pm \operatorname{inv} \alpha_t \mp \operatorname{inv} \alpha_{ft} \right)$	正变位, 增大; 负变位, 减小		
尺寸	$h_a=h_{an}^* m_a$ (内齿轮应减去 $\Delta h_{an}^* m_a$ )	外齿轮: 正变位, 增大(一般情况); 负变位, 减小 内齿轮: 正变位, 减小(一般情况); 负变位, 增大		
	$h_t=(h_{an}^* + c_n^*) m_a$	外齿轮: 正变位, 减小; 负变位, 增大 内齿轮: 正变位, 增大; 负变位, 减小		
	$h=h_a+h_t$	不变(不计入内齿轮为避免过渡曲线干涉而将齿顶高减小的部分变化)	外啮合: 略减 内啮合: 略增	{(保证和标准齿轮传动同样顶隙时)}
传动质量指标	对 $\alpha=20^\circ$ , $h_a^*=1$ 的直齿轮: 外啮合: $1.4 < \varepsilon_a < 2$ 内啮合: $1.7 < \varepsilon_a < 2.2$ 对斜齿轮 $\varepsilon_a$ 低于上述值	略 减	减 少	增 加
	滑动率 $\eta$	小齿轮齿根有较大的 $\eta_{1max}$	$\eta_{1max}$ 减小, 且可使 $\eta_{1max}=\eta_{2max}$	$\eta_{1max}$ 和 $\eta_{2max}$ 都增大
	几何压力系数 $\psi$	小齿轮齿根有较大的 $\psi_{1max}$	$\psi_{1max}$ 减小, 且可使 $\psi_{1max}=\psi_{2max}$	$\psi_{1max}$ 和 $\psi_{2max}$ 都增大
对强度的影响	接触强度		只有当节点处于双齿对啮合区时, 才能提高接触强度	对直齿轮, 承载能力近似与 $\sin 2\alpha'$ / $\sin 2\alpha$ 成正比, 因此接触强度随着 $z_s$ 的增加而提高; 当节点位于双齿对啮合区时, 对接触强度更为有利。但是增加 $z_s$ 对接触强度的有益影响将因 $\varepsilon_a$ 的降低而有所抵消, 这对斜齿轮更为显著
	弯曲强度		对外齿轮, 当齿数少时, 弯曲强度随变位系数的增加而提高; 当齿数多时, 变位对强度的影响不显著; 对高精度齿轮, 当增大变位系数时, 由于重合度的降低, 消弱了变位对提高强度的作用	
齿数限制	$z_1>z_{min}$	$z_1+z_2>2z_{min}$	$z_1+z_2<2z_{min}$	$z_1+z_2>2z_{min}$

传动类型	标准齿轮传动 $x_{n1}=x_{n2}=0$	变位齿轮传动		
		高变位 $x_{n2}\pm x_{n1}=0$ ( $x_{n1}\neq 0$ )	角变位 $x_{n2}\pm x_{n1}\neq 0$	
效 率		提 高	降 低	
互 换 性	较 大	较 小		
应 用	广泛用于各种传动中	1. 用于结构紧凑，要求与标准齿轮的中心距相同的传动中 2. 为不过多地降低大齿轮（负变位）的强度和避免根切，多用于 $x_2\pm x_1$ 较大的场合 3. 用于希望提高齿轮强度，均衡大小齿轮的弯曲强度和滑动率，而又不希望 $e_a$ 下降很多的场合	1. 多用于结构紧凑， $x_2\pm x_1$ 比较小的场合 2. 用于希望提高并均衡大小齿轮的强度和滑动率，而又允许 $e_a$ 降低的传动 3. 用于配凑中心距 4. 对斜齿轮一般仅用于配凑中心距	应用较少，一般仅用于配凑中心距或要求具有较大的 $e_a$ 的场合

注：1. 有“±”或“干”号处，上面的符号用于外啮合；下面的符号用于内啮合。

2. 对直齿轮，应将表中的代号去掉下角 t 或 n。

### 3.3 选择外啮合齿轮变位系数的限制条件

表 14-1-5

限制条件	校验公式	说 明
加工时不根切	1. 用齿条型刀具加工时 $x \geq h_a^* - \frac{z \sin^2 \alpha}{2}$ ( $\alpha = 20^\circ$ 、 $h_a^* = 1$ 时，可用图 14-1-4 校验) 2. 用插齿刀加工时 $x \geq \frac{1}{2} [\sqrt{(z_0 + 2h_{a0}^*)^2 + (z^2 + 2zz_0) \cos^2 \alpha} - (z_0 + z)]$ 式中 $z_0, h_{a0}^*$ 见表 14-1-14	齿数太少 ( $z < z_{min}$ ) 或变位系数太小 ( $x < x_{min}$ ) 时，都会产生根切
齿顶不过薄	$s_a = d_a \left( \frac{\pi}{2z} + \frac{2z \operatorname{tg} \alpha}{s} + \operatorname{inv} \alpha - \operatorname{inv} \alpha_a \right) \geq (0.25 \sim 0.4) m$ ( $\alpha = 20^\circ$ 、 $h_a^* = 1$ 时，可用图 14-1-4 校验)	正变位的变位系数过大（特别是齿数较少）时，就可能发生齿顶过薄
保证一定的重合度	$e_a = \frac{1}{2\pi} [z_1(\operatorname{tg} \alpha_{a1} - \operatorname{tg} \alpha') + z_2(\operatorname{tg} \alpha_{a2} - \operatorname{tg} \alpha')] \geq 1.2$ ( $\alpha = 20^\circ$ 时，可用图 14-1-10 校验)	变位系数的和 ( $x_1 + x_2$ ) 过大时，就会使重合度过小

续表

限制条件	校验公式	说明
不产生过渡 曲线干涉	<p>1. 用齿条型刀具加工的齿轮啮合时</p> <p>(1) 小齿轮齿根与大齿轮齿顶不产生干涉的条件</p> $\operatorname{tg}\alpha' - \frac{z_2}{z_1} (\operatorname{tg}\alpha_{a2} - \operatorname{tg}\alpha') \geq \operatorname{tg}\alpha - \frac{4(h_a^* - x_1)}{z_1 \sin 2\alpha}$ <p>(2) 大齿轮齿根与小齿轮齿顶不产生干涉的条件</p> $\operatorname{tg}\alpha' - \frac{z_1}{z_2} (\operatorname{tg}\alpha_{a1} - \operatorname{tg}\alpha') \geq \operatorname{tg}\alpha - \frac{4(h_a^* - x_2)}{z_2 \sin 2\alpha}$ <p>2. 用插齿刀加工的齿轮啮合时</p> <p>(1) 小齿轮齿根与大齿轮齿顶不产生干涉的条件</p> $\operatorname{tg}\alpha' - \frac{z_2}{z_1} (\operatorname{tg}\alpha_{a2} - \operatorname{tg}\alpha') \geq \operatorname{tg}\alpha'_{o1} - \frac{z_0}{z_1} (\operatorname{tg}\alpha_{a0} - \operatorname{tg}\alpha'_{o1})$ <p>(2) 大齿轮齿根与小齿轮齿顶不产生干涉的条件</p> $\operatorname{tg}\alpha' - \frac{z_1}{z_2} (\operatorname{tg}\alpha_{a1} - \operatorname{tg}\alpha') \geq \operatorname{tg}\alpha'_{o2} - \frac{z_0}{z_2} (\operatorname{tg}\alpha_{a0} - \operatorname{tg}\alpha'_{o2})$	当所选的变位系数的绝对值过大时，就可能发生这种干涉。 用插齿刀加工的齿轮比用齿条型刀具加工的齿轮容易产生这种干涉。

注：本表给出的是直齿轮的公式，对斜齿轮，可用其端面参数按本表计算。

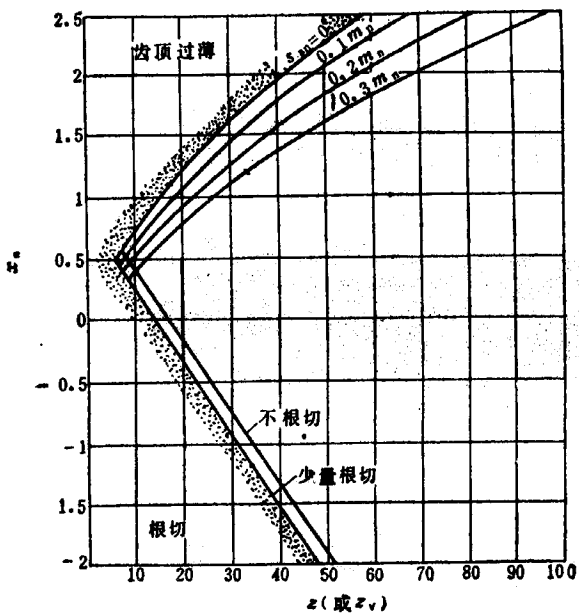


图 14-1-4 不根切和齿顶不过薄的限制条件

( $\alpha_a = 20^\circ$ ,  $h_{aa}^* = 1$ ,  $\Delta y_a = 0$ )

### 3.4 外啮合齿轮变位系数的选择

#### 变位系数的选择方法

表 14-1-6

齿轮种类	变位的目的	应用条件	选择变位系数的原则	选择变位系数的方法
直齿 轮	避免根切	用于齿数少的齿轮	对不允许削弱齿根强度的齿轮，不能产生根切；对允许削弱齿根强度的齿轮，可以产生少量根切	<p>1. 对齿条型刀具加工的 <math>h_a^* = 1, \alpha = 20^\circ</math> 的齿轮： 不产生根切的条件  <math display="block">x_{\min} = \frac{17-z}{17}</math> 产生少量根切的条件  <math display="block">x_{\min} = \frac{14-z}{17}</math></p> <p>2. 对插齿刀加工的齿轮，不产生根切的条件：</p> $x_{\min} = \frac{1}{2} [\sqrt{(z_0 + 2h_{a0}^*)^2 + (z^2 + 2zz_0) \cos^2 \alpha} - (z_0 + z)]$
	提高接触强度	多用于软齿面 ( $HB \leq 350$ ) 的齿轮	应适当选择较大的总变位系数 $x_S$ ，以增大啮合角，加大齿面当量曲率半径，减小齿面接触应力  还可以通过变位，使节点位于双齿对啮合区，以降低节点处的单齿载荷。这种方法对精度为 7 级以上的重载齿轮尤为适宜	<p>1. 可以根据使用条件按图 14-1-5 选择变位系数 2. 对高变位齿轮，按图 14-1-6 选取变位系数可以使节点处于双齿对啮合区</p>
	提高弯曲强度	多用于硬齿面 ( $HB > 350$ ) 齿轮	应尽量减小齿形系数和齿根应力集中，并尽量使两齿轮的弯曲强度趋于均衡	可以根据使用条件按图 14-1-5 选择变位系数
斜齿 轮	多用于高速、重载齿轮		应选择较大的总变位系数 $x_S$ ，以减小齿面接触应力，并使两齿根的最大滑动率相等	可以根据使用条件按图 14-1-5a 求出总变位系数 $x_S$ ，然后按图 14-1-7 分配
	多用于低速、重载、软齿面齿轮或开式齿轮			
	配凑中心距	中心距给定时	按给定中心距计算总变位系数 $x_S$ ，然后进行分配	<p>1. 一般情况可按图 14-1-5 的 b 或 c 分配总变位系数 <math>x_S</math> 2. 对 <math>u &gt; 2</math> 的齿轮副，按下式分配变位系数，可使节点近似处于双齿对啮合区（单齿对啮合区位于小齿轮的齿顶部分）</p> $x_1 = \frac{x_S}{us+1} \times \frac{z_1+12}{z_1+2} + \frac{8}{z_1+2}$ <p>3. 欲提高抗胶合能力和耐磨损性能，可按图 14-1-7 分配</p>
斜齿轮	斜齿轮的变位系数基本上可以参照直齿轮的选择原则和方法，但使用图表时要用当量齿数 $z_v = z / \cos^3 \beta$ 代替 $z$ ，所求出的是法向变位系数 $x_n$ 。对角变位的斜齿轮传动，当总变位系数增加时，虽然可以增加齿面的当量曲率半径和齿根圆齿厚，但其接触线长度将缩短，故对承载能力的提高没有显著的效果，一般不推荐 $x_{n,S} > 0.4$ 的变位			

#### 选择变位系数的线图

利用图 14-1-5 可以按对承载能力和传动平稳性的不同要求选取变位系数。图 14-1-5 适用于  $z > 10$  的外啮合齿轮。当所选的变位系数落在 b 图或 c 图的阴影区内时，要校验过渡曲线干涉；除此之外，干涉条件已满足，不需要验算。b 图中的 L1~L17 线和 c 图中的 S1~S13 线是按两齿轮的齿根强度相等、主动轮齿顶的滑动速度稍大于从动轮齿顶的滑动速度、滑动率不太大的条件，综合考虑做出的。

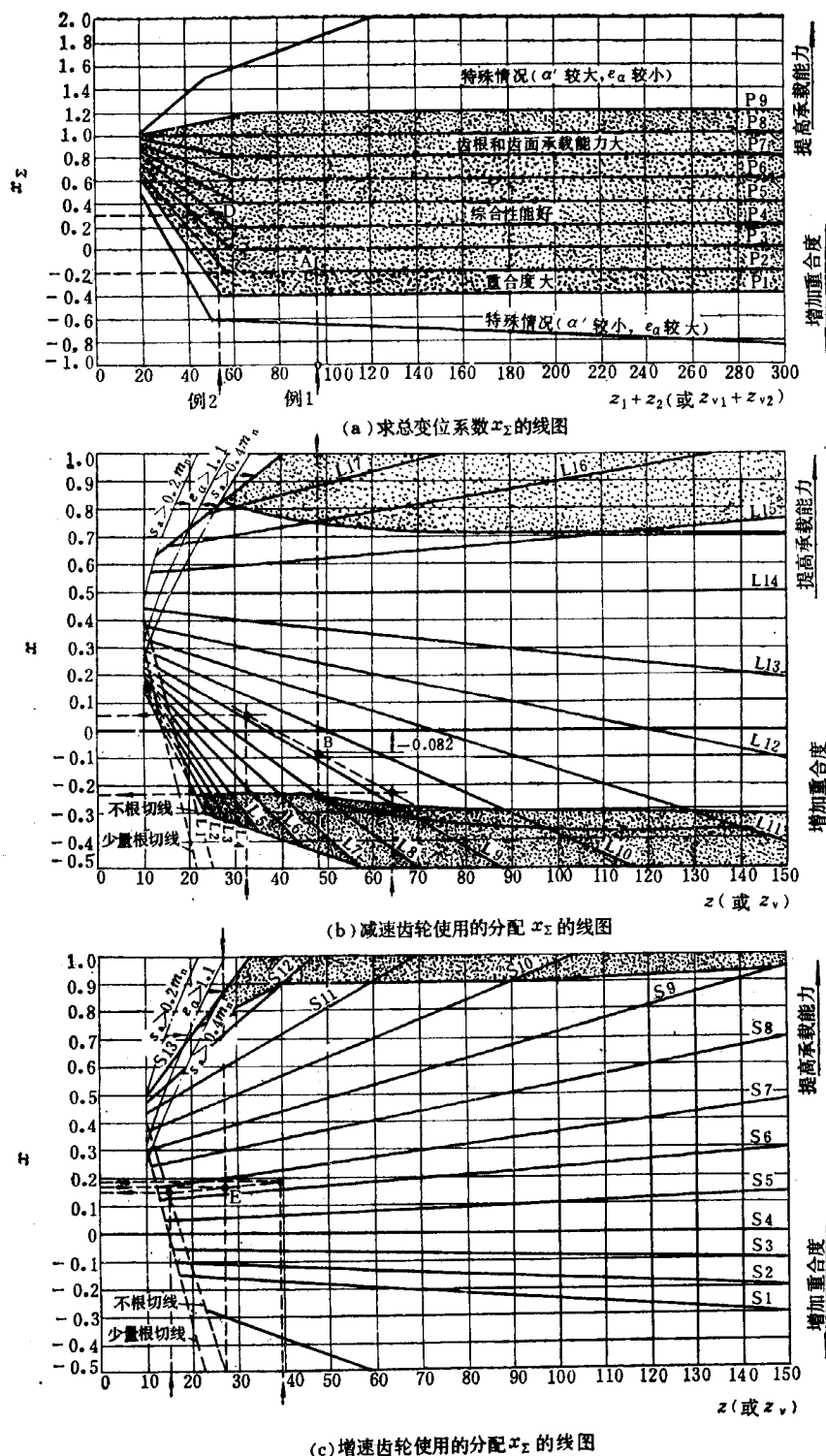


图 14-1-5 选择变位系数的线图

图14-1-5的使用方法如下：

(1) 按照变位的目的，根据齿数和  $(z_1+z_2)$ ，在 a 图中选出适宜的总变位系数  $x_z$ 。

(2) 利用 b 图(减速齿轮)或 c 图(增速齿轮)分配  $x_z$ ：按  $\frac{z_1+z_2}{2}$  (可直接由 a 图垂直引下) 和  $\frac{x_z}{2}$

决定坐标点；过该点引与它相邻的 L 线或 S 线相应的射线，过  $z_1$  和  $z_2$  做垂线，与所引射线交点的纵坐标即为  $x_1$  和  $x_2$ 。

(3) 当大齿轮的齿数  $z_2 > 150$  时，可按  $z_2 = 150$  查线图。

(4) 斜齿轮按  $z_v = z / \cos^2 \beta$  查线图，求出的是  $x_n$ 。

**例 1** 已知齿轮减速装置， $z_1 = 32$ 、 $z_2 = 64$ 、 $m = 3$ ，该装置传递动力较小，要求运转平稳，求其变位系数。

由图 a，按运转平稳的要求，选用重合度较大的 P2，按  $z_1 + z_2 = 96$ ，得出  $x_z = -0.20$  (图中 A 点)。按表 14-1-10 算得  $a = 143.39\text{mm}$ ，若把中心距圆整为  $a = 143.5\text{mm}$ ，则按表 14-1-10 可算得  $x_z = -0.164$ 。由 A 点向下引垂线，

在图 b 上找出  $\frac{x_z}{2} = -0.082$  的点 B。过 B 点引与 L9 和 L10 相应的射线，由  $z_1 = 32$ ，得出  $x_1 = 0.06$ ，则  $x_2 = x_z - x_1 = -0.224$ 。由图 14-1-10 查出  $\varepsilon_a = 1.79$ ，可以满足要求。

**例 2** 已知增速齿轮装置， $z_1 = 14$ 、 $z_2 = 37$ 、 $m_n = 5$ 、 $\beta = 12^\circ$ ，要求小齿轮不产生根切，且具有良好的综合性能，求其变位系数。

由表 14-1-10 算出  $z_{v1} = 15$ 、 $z_{v2} = 39.5$ 。因为要求综合性能比较好，因此选用图 a 中的 P4，按  $z_{v1} + z_{v2} = 54.5$ ，求出  $x_{n,z} = 0.3$  (图中 D 点)。按表 14-1-10 算得  $a = 131.79\text{mm}$ ，若把中心距圆整为  $a = 132\text{mm}$ ，则按表 14-1-10

可算得  $x_{n,z} = 0.345$ 。过 D 点向下引垂线，在图 c 中找出  $\frac{x_{n,z}}{2} = 0.173$  的点 E。过 E 点引与 S6、S7 相应的射线，

由  $z_{v2} = 39.5$  得出  $x_{n,z} = 0.19$ ，则  $x_{n,z} = x_{n,z} - x_{n,z} = 0.155$ 。因为由  $z_{v1}$  和  $x_{n,z}$  确定的点落在不根切线的右侧，所以不产生根切，可以满足要求。

### 高变位使节点处于双齿对啮合区的线图

按图 14-1-6 选择变位系数可以使节点处于双齿对啮合区(单齿对啮合区位于小齿轮的齿顶部分)。节点位于双齿对啮合区的深度  $\delta_2$  一般可选在 0.2~0.6 之间；当齿数比  $u$  较小时，为避免过多地削弱大齿轮的弯曲强度，应选较小的值；否则可选较大的值，把大齿轮根部容易出现点蚀的区域也包括在双齿对啮合区。按图 14-1-6 选择

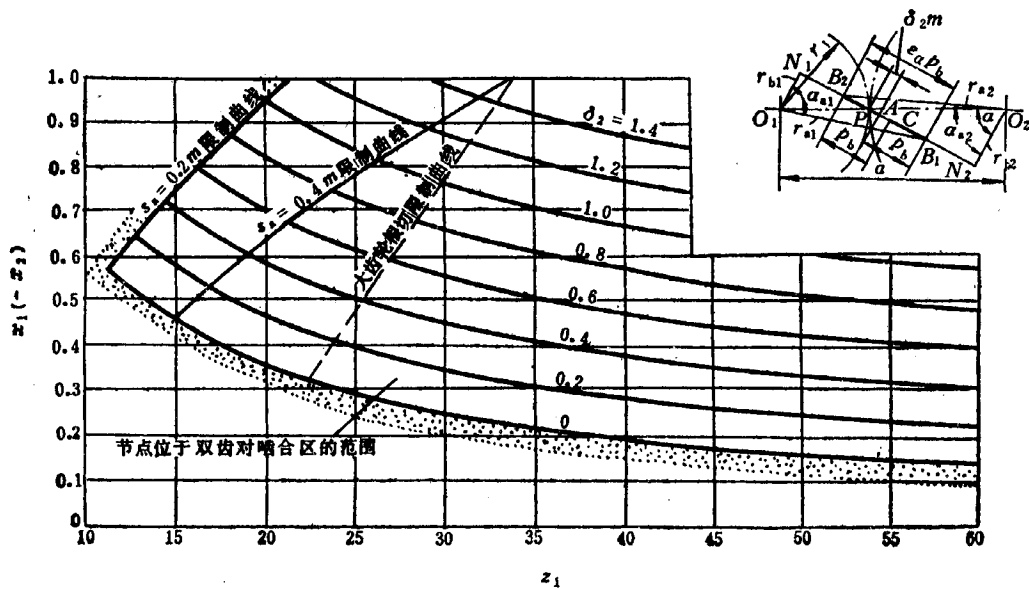


图 14-1-6 高变位使节点处于双齿对啮合区的线图

$O_1O_2$ —中心线； $O_1N_1, O_2N_2$ —基圆半径； $O_1B_1, O_2B_2$ —齿顶圆半径；P—节点； $B_1B_2$ —实际啮合线； $B_2A, CB_1$ —双齿对啮合区；AC—单齿对啮合区；PA—节点处于双齿对啮合区的深度

变位系数时, 对 $z_1 \leq 33$ 的大齿轮, 应校验其齿根是否产生根切, 即以 $z_1$ (图中的 $z_1$ )为横坐标,  $-x_2$ 为纵坐标所确定的大齿轮的变位点不得落在虚线的左侧(否则大齿轮将发生根切)。

### 按提高抗胶合和耐磨损性能分配变位系数的线图

图14-1-7是按两齿根的最大滑动率近似相等的条件作出的, 按此条件分配变位系数时, 可以使齿轮传动具有较好的抗胶合能力和耐磨损性能。当按图14-1-5 a选择总变位系数 $x_2$ , 按图14-1-7分配 $x_2$ 时, 可以满足选择变位系数的限制条件, 不必再校验(惟有 $z_1 + z_2 < 50$ ,  $x_2$ 选在图14-1-5 a的上边界附近时,  $\epsilon_a$ 略小于1.2)。

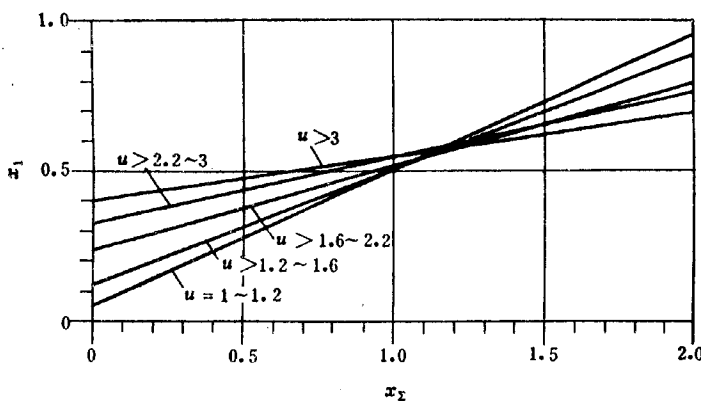


图 14-1-7 按提高抗胶合和耐磨损性能分配变位系数的线图

### 3.5 内啮合齿轮的干涉

#### 内啮合齿轮的干涉现象

表 14-1-7

名称	简 图	定 义	不产生干涉的条件	防止干涉的措施	说 明
渐开线干涉		当实际啮合线的端点 $B_2$ 落在理论啮合线的极限点 $N_1$ 的左侧时, 便发生渐开线干涉	$\frac{z_1}{z_2} \geq 1 - \frac{\operatorname{tg}\alpha_{a2}}{\operatorname{tg}\alpha'}$ 对标准齿轮( $x_1 = x_2 = 0$ )	1. 加大齿形角 2. 加大内齿轮和小齿轮的变位系数	用插齿刀加工内齿轮时, 在这种干涉下, 内齿轮产生范成顶切